

Алгоритмы аутентифицированного шифрования на основе отечественных криптографических примитивов в сценариях с вычислительными ограничениями

**Борис Буинов,
Антон Васин,
Марина Скоробогатова**

Компания «Актив»

Применение низкоресурсной криптографии

Низкоресурсные протоколы:

- Zigbee
- Bluetooth Low Energy
- Z-Wave
- TinySec
- EPC Tag Data Translation

Применение:

- Компоненты IoT
- RFID метки
- Банкоматы
- Кассовые терминалы
- СКУД

Рассматриваемые сценарии

- Защищённый обмен сообщениями после распределения общего секрета
- Небольшое количество ресурсов, выделяемых на шифрование
- Обеспечение конфиденциальности данных и целостности передаваемого сообщения
⇒ AEAD
- Программная реализация
- Использование примитивов из отечественных стандартизированных алгоритмов
- Ограниченные возможности противника

Цель: получить ускорение в сравнении с существующими стандартизированными AEAD-схемами (MGM)

Модель противника: основные определения

Определение (Модель PRP)

Под преимуществом $\text{Adv}_E^{\text{PRP}}(A)$ противника A в задаче различения случайной подстановки и подстановки E , задаваемой блочным шифром на случайном ключе $K \xleftarrow{R} \{0, 1\}^k$, будем понимать

$$\text{Adv}_E^{\text{PRP}}(A) = \left| \mathbb{P}(A^{E_K} = 1) - \mathbb{P}(A^\pi = 1, \pi \xleftarrow{R} S(\{0, 1\}^n)) \right|.$$

Определение

Под **AEAD** алгоритмом будем понимать пару $\mathcal{AE} = (\mathcal{E}, \mathcal{D})$, где

$\mathcal{E}: K \times N \times A \times P \rightarrow C \times T$ – алгоритм зашифрования и вычисления имитовставки,

$\mathcal{D}: K \times N \times A \times C \times T \rightarrow P \cup \{\perp\}$ – алгоритм расшифрования и проверки имитовставки.

Модель противника nAE

Определение

Для противника A определим его **преимущество в модели nAE¹** как

$$\text{Adv}_{\mathcal{AE}}^{\text{AE}}(A) = \left| \mathbb{P}(A^{\mathcal{E}_K, \mathcal{D}_K} = 1) - \mathbb{P}(A^{\$, \perp} = 1) \right|.$$

Тогда максимум по всем противникам равен

$$\text{Adv}_{\mathcal{AE}}^{\text{AE}}(t, q_e, q_d, \sigma_e, \sigma_d) = \max_A \text{Adv}_{\mathcal{AE}}^{\text{AE}}(A).$$

- t – вычислительные возможности противника;
- q_e, q_d – количество запросов к оракулу зашифрования \mathcal{E}_K и расшифрования \mathcal{D}_K ;
- σ_e, σ_d – общее количество вызовов блочной шифрсистемы при запросах зашифрования и расшифрования соответственно.

¹Fleischmann E., Forler C., Lucks S. McOE: A family of almost foolproof on-line authenticated encryption schemes //International Workshop on Fast Software Encryption. – Berlin, Heidelberg : Springer Berlin Heidelberg, 2012. – С. 196-215.

Режим SAEB²

Модификации:

- Блочный шифр: Магма или Кузнечик (ГОСТ 34.12-2018)
- Длина блока: $n = 64$ бит или $n = 128$ бит соответственно

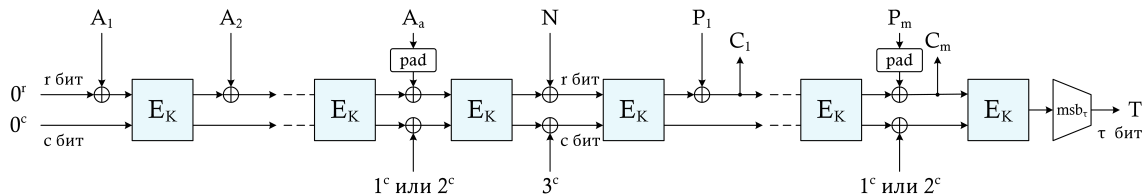


Рис. 1: Схема режима SAEB

²Naito Y. et al. SAEB: A lightweight blockcipher-based AEAD mode of operation //Cryptology ePrint Archive. – 2019.

Оценка для режима SAEB

Теорема (см. [2])

Пусть σ_A — количество вызовов с фиксированными ассоциированными данными, $\sigma = \sigma_e + \sigma_d$. Тогда для любого $\rho \geq 1$

$$\text{Adv}_{SAEB}^{\text{AE}}(t, q_e, q_d, \sigma_e, \sigma_d) \leq \text{Adv}_E^{\text{PRP}}(t + O(\sigma), \sigma) + \frac{2\sigma^2}{2^n} + \frac{(\rho - 1)(\sigma_A + \sigma_d)}{2^c} + 2^r \left(\frac{e\sigma_e}{\rho 2^r} \right)^\rho + \frac{q_d}{2^r}.$$

Здесь и далее считаем блочные шифры Магма и Кузнечик стойкими в модели PRP .
Это означает, что слагаемое $\text{Adv}_E^{\text{PRP}}(t', q')$ пренебрежимо мало.

Пример применения оценки для SAEB

$q_e = q_d$	$\sigma_e = \sigma_d = \sigma_A$	r	c	$\text{Adv}_{SAEB}^{\text{AE}}$
2^{22}	2^{22} (32 МБ)	32	32	$< 10^{-2}$ ($\rho = 4$)
2^{11}	2^{11} (16 КБ)	45	19	$< 10^{-2}$ ($\rho = 2$)
2^{26}	2^{26} (512 МБ)	16	48	$< 10^{-2}$ ($\rho = 2809$)

Таблица 1: Магма в режиме SAEB

$q_e = q_d$	$\sigma_e = \sigma_d = \sigma_A$	r	c	$\text{Adv}_{SAEB}^{\text{AE}}$
2^{46}	2^{46} (1 ПБ)	64	64	$< 10^{-4}$ ($\rho = 5$)
2^{24}	2^{24} (256 МБ)	96	32	$< 10^{-2}$ ($\rho = 2$)
2^{46}	2^{46} (1 ПБ)	32	96	$< 10^{-9}$ ($\rho = 44592$)

Таблица 2: Кузнечик в режиме SAEB

Режим COFB³

Модификации:

- Блочный шифр: Магма или Кузнечик (ГОСТ 34.12-2018)
- Длина блока: $n = 64$ бит или $n = 128$ бит соответственно
- Функция $G: \{0, 1\}^n \rightarrow \{0, 1\}^n$ действует по правилу

$$G(Y) = G(Y_0 \parallel Y_1) = Y_1 \parallel (Y_0 \lll 1),$$

где $(Y_0, Y_1) \stackrel{n}{\leftarrow} Y$, $Y \lll r$ – циклический сдвиг влево на r бит.

- Умножение в поле $F = GF(2^{\frac{n}{2}}) = \mathbb{Z}_2[x]/f(x)$, где

$$f(x) = \begin{cases} x^{64} + x^4 + x^3 + x + 1, & \text{если } n = 128; \\ x^{32} + x^7 + x^3 + x^2 + 1, & \text{если } n = 64. \end{cases}$$

³Chakraborti A. et al. Blockcipher-based authenticated encryption: how small can we go? //Journal of Cryptology. – 2020. – Т. 33. – №. 3. – С. 703-741.

Схема режима COFB

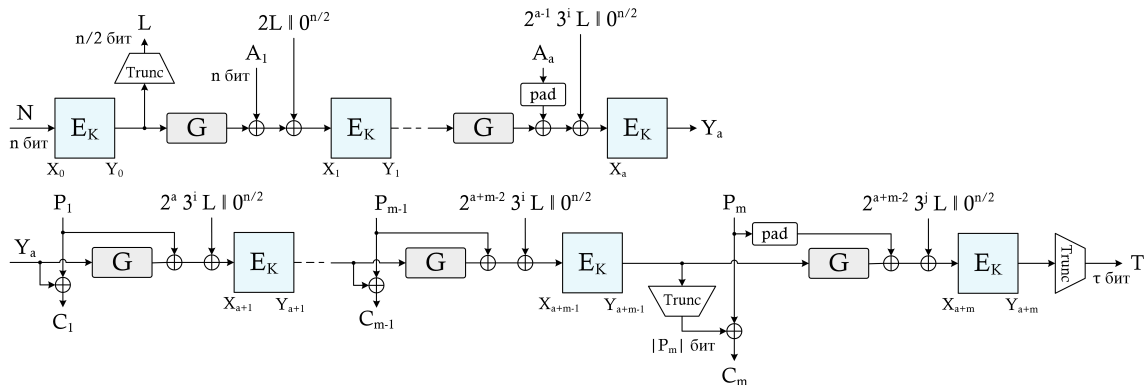


Рис. 2: Схема режима COFB

Оценка стойкости для режима COFB

Теорема (см. [4])

Пусть $q' = q_e + q_d + \sigma_e + \sigma_d$, $t' = t + O(q')$. Тогда для $q' \leq 2^{\frac{n}{2}-1}$ справедливо

$$\begin{aligned} \text{Adv}_{\text{COFB}}^{\text{AE}}(t, q_e, q_d, \sigma_e, \sigma_d) \leq & \text{Adv}_E^{\text{PRP}}(t', q') + \frac{q'(q' - 1)}{2^{n+1}} + \frac{\sigma_e + 1}{2^{\frac{n}{2}}} + \\ & + \frac{q_d(n + 4)}{2^{\frac{n}{2}+1}} + \frac{3\sigma_e^2 + q_d + 2\sigma_d(q_e + \sigma_e + \sigma_d)}{2^n}. \end{aligned}$$

Отметим, что в модифицированной схеме при $n = 64$ многочлен $f(x)$ является неприводимым, но не является примитивным. Однако, для **выбранного** $f(x)$ гарантируется уникальность маски $2^i 3^j$, что позволяет аналогичным образом доказать данную оценку.

⁴Banik S. et al. GIFT-COFB v1.2. - 2022.

Пример применения оценки для COFB

n	$q_e = q_d$	$\sigma_e = \sigma_d$	$\text{Adv}_{\text{COFB}}^{\text{AE}}$
64	2^{17}	2^{25} (256 МБ)	$< 10^{-2}$

Таблица 3: Магма в режиме COFB

n	$q_e = q_d$	$\sigma_e = \sigma_d$	$\text{Adv}_{\text{COFB}}^{\text{AE}}$
128	2^{39}	2^{47} (1 ПБ)	$< 10^{-5}$

Таблица 4: Кузнечик в режиме COFB

Режим Duplex⁵

Модификации:

- Подстановка $\Pi: \{0, 1\}^{256} \rightarrow \{0, 1\}^{256}$, $\Pi = \Pi_L \circ \Pi_S \circ \Pi_C$
- Π_C – сложение по модулю 2 с раундовой константой:

0	1	2	3	...	52	53	54	55	56	57	58	59	60	61	62	63	
				...													S_0
				...													S_1
				...					\oplus	\oplus	\oplus	\oplus	\oplus	\oplus	\oplus	\oplus	S_2
				...													S_3

Рис. 3: Применение констант

Раунд	1	2	3	4	5	6	7	8	9	10	11	12
Константа	$f0$	$e1$	$d2$	$c3$	$b4$	$a5$	96	87	78	69	$5a$	$4b$

Таблица 5: Раундовые константы

Режим Duplex⁵

Модификации:

- Π_S – подстановка из блочного шифра Магма:

$$\pi_0 = (12, 4, 6, 2, 10, 5, 11, 9, 14, 8, 13, 7, 0, 3, 15, 1)$$

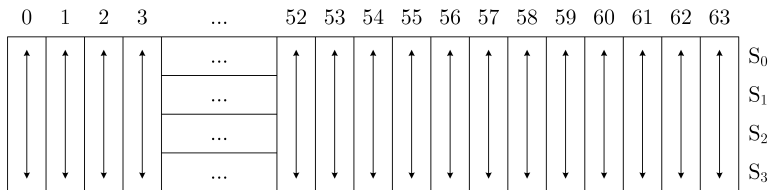


Рис. 4: Применение подстановки

Данная архитектура обеспечивает возможность реализации подстановки методом «битслайс».

Режим Duplex⁵

Модификации:

- Π_L – линейное преобразование:

$$S_0 = S_0 \oplus (S_0 \ggg 19) \oplus (S_0 \ggg 28),$$

$$S_2 = S_2 \oplus (S_2 \ggg 1) \oplus (S_2 \ggg 6),$$

$$S_1 = S_1 \oplus (S_1 \ggg 39) \oplus (S_1 \ggg 61),$$

$$S_3 = S_3 \oplus (S_3 \ggg 10) \oplus (S_3 \ggg 17).$$

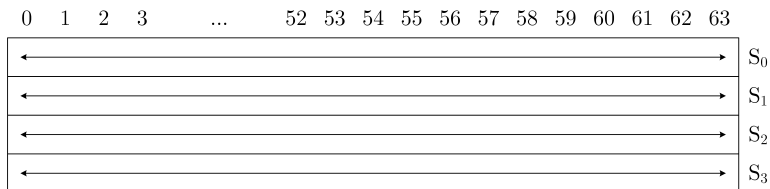


Рис. 5: Применение линейного слоя

⁵Bertoni G. et al. Duplexing the sponge: single-pass authenticated encryption and other applications // Selected Areas in Cryptography: 18th International Workshop, SAC 2011, Toronto, ON, Canada, August 11-12, 2011, Revised Selected Papers 18. – Springer Berlin Heidelberg, 2012. – С. 320-337.

Схема режима Duplex

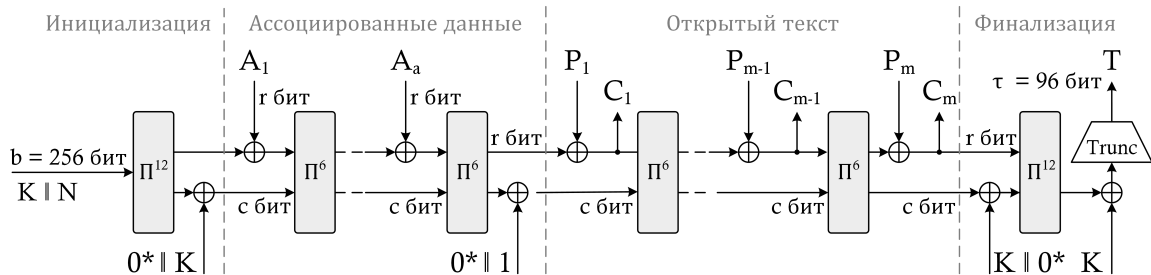


Рис. 6: Схема режима Duplex

Оценка для режима Duplex

Определение (см. [6])

$$\text{col}(q, N) = \begin{cases} 3, & 4 \leq q \leq \sqrt{N}; \\ \frac{4 \log_2 q}{\log_2 \log_2 q}, & \sqrt{N} < q \leq N; \\ 5 \log_2 N \lceil \frac{q}{N} \rceil, & N < q. \end{cases}$$

Теорема

Пусть $q_p(t)$ — число вызовов подстановки Π , $\sigma = \sigma_e + \sigma_d$. Тогда

$$\text{Adv}_{\text{duplex}}^{\text{AE}}(t, q_e, q_d, \sigma_e, \sigma_d) \leq \frac{2q_d}{2^\tau} + \frac{\sigma_e^2 + \sigma_d(q_p + \sigma_d) + q_e q_d + (2q_e + q_d)(\sigma + q_p)}{2^b} + \\ + \frac{\text{col}(\sigma_e, 2^r)(\sigma_d + q_p) + \text{col}(\sigma_e, 2^r)q_d}{2^c} + \frac{q_p + \sigma + \text{col}(\sigma + q_p, 2^r)q_d + \text{col}(q_e, 2^{b-k})q_d}{2^k}.$$

⁶Chakraborty B., Dhar C., Nandi M. Exact security analysis of ASCON // International Conference on the Theory and Application of Cryptology and Information Security. – Singapore : Springer Nature Singapore, 2023. – С. 346-369.

Пример применения оценки для Duplex

$q_e = q_d$	$\sigma_e = \sigma_d$	r	c	q_p	$\text{Adv}_{duplex}^{\text{AE}}$
2^{46}	2^{46} (1 ПБ)	128	128	10^{30}	$< 10^{-7}$
2^{46}	2^{46} (> 1 ПБ)	160	96	10^{23}	$< 10^{-5}$
2^{36}	2^{36} (> 1 ТБ)	171	85	10^{20}	$< 10^{-5}$

Таблица 6: Режим Duplex с примитивом из Магмы

Сравнение рассматриваемых режимов

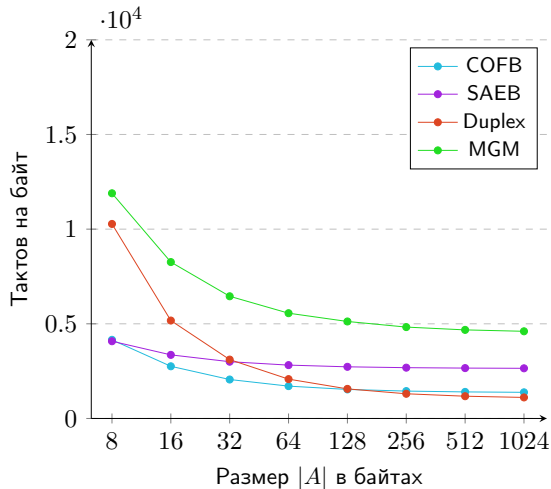
	COFB	SAEB	Duplex
Требуемая память	$k + \frac{3}{2}n = 352$ бит	$k + n = 320$ бит	$64 \cdot s = 256$ бит
Преимущества	Быстрая реализация; Стойкость не сильно ухудшается при повторе вектора инициализации (nonce misuse)	Эффективная обработка константных ассоциированных данных; Небольшое количество требуемой памяти	Быстрая реализация для данных произвольной длины; Более стойкий при фиксированных ресурсах противника
Недостатки	Менее стойкий при фиксированных ресурсах противника; Имеет операции, отличные от <i>XOR</i>	Менее стойкий при фиксированных ресурсах противника; Невысокая скорость	Оценку стойкости невозможно свести к стойкости блочного шифра; Медленный для данных небольшого размера

Используемые микроконтроллеры

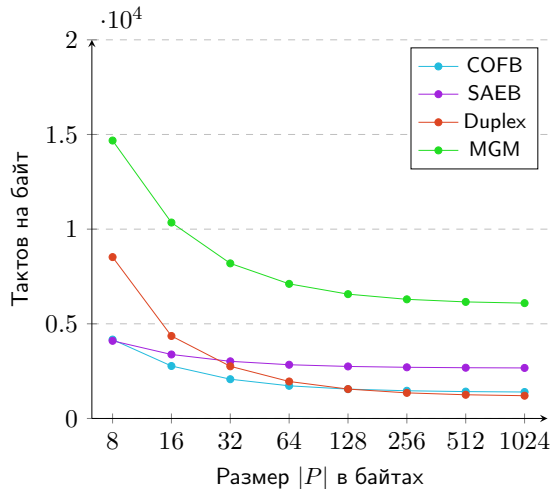
Характеристики	Atmega640	STM32F446RE	CH32V307VCT6
Архитектура	AVR (avr5)	Arm (Cortex-M4)	RISC-V (QingKe V4F с ISA RV32IMACF)
Регистры	8 бит	32 бита	32 бита
Тактовая частота	16 МГц	180 МГц	144 МГц
Производительность	0.54 CoreMark/MHz	3.35 CoreMark/MHz	3.19 CoreMark/MHz
Flash-память	64 КБ	512 КБ	256 КБ
EEPROM	4 КБ	Нет	Нет
SRAM	8 КБ	128 КБ	64 КБ

Таблица 7: Микроконтроллеры, для которых производились замеры скоростей

Сравнение скоростей для Atmega640 при $r = c$

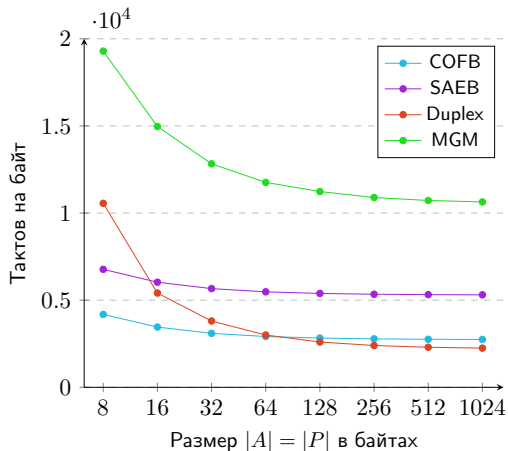


Только ассоциированные данные

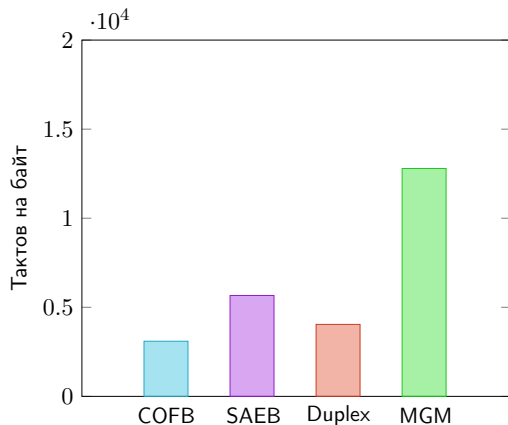


Только открытый текст

Сравнение скоростей для Atmega640 при $r = c$

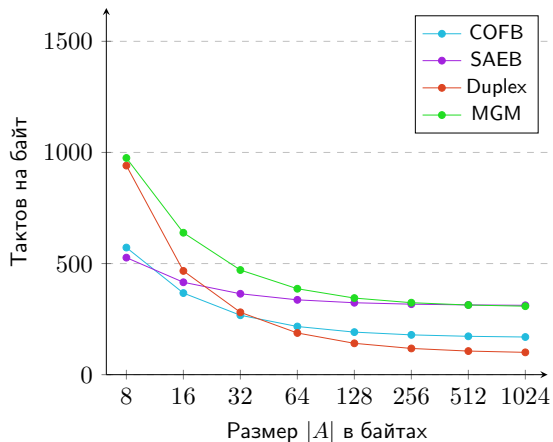


Ассоциированные данные и открытый текст

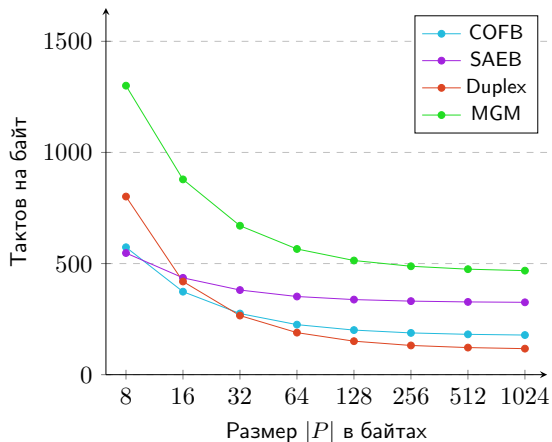


Усредненные значения для набора текстов

Сравнение скоростей для STM32F446RE при $r = c$

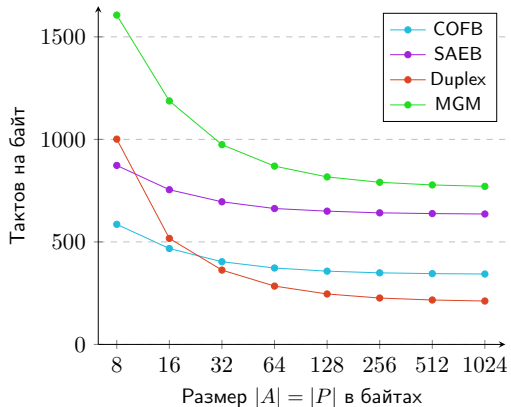


Только ассоциированные данные

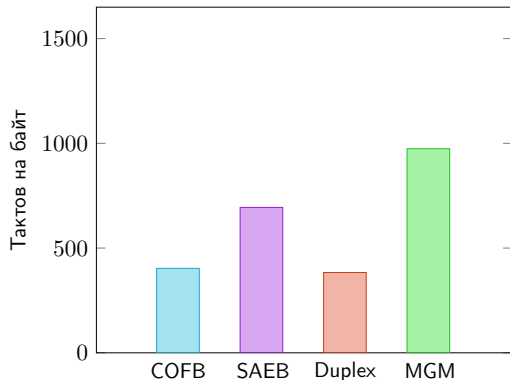


Только открытый текст

Сравнение скоростей для STM32F446RE при $r = c$

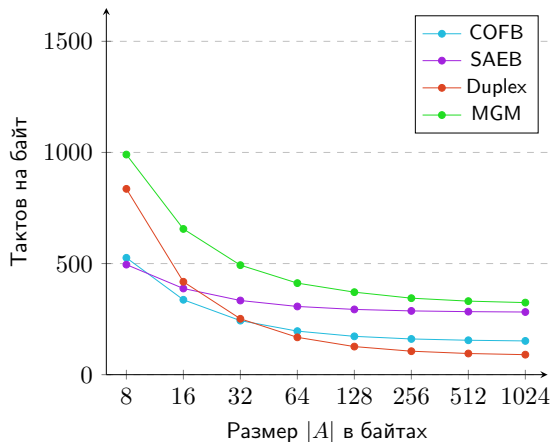


Ассоциированные данные и открытый текст

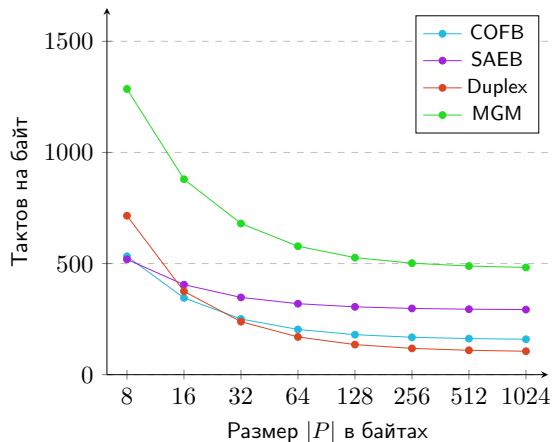


Усредненные значения для набора текстов

Сравнение скоростей для CH32V307VCT6 при $r = c$

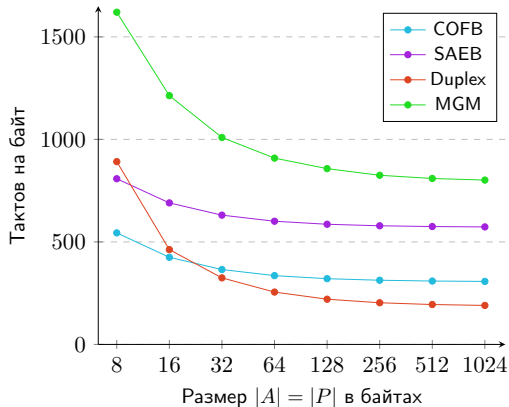


Только ассоциированные данные

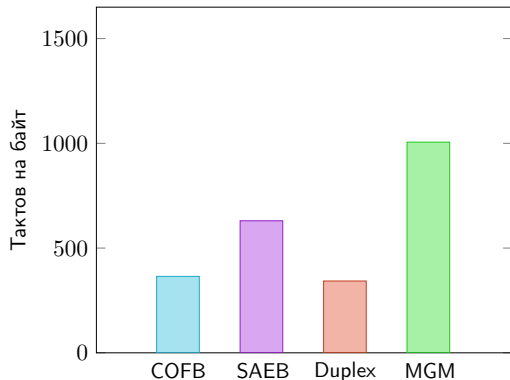


Только открытый текст

Сравнение скоростей для CH32V307VCT6 при $r = c$



Ассоциированные данные и открытый текст



Усредненные значения для набора текстов

Спасибо за внимание!

КОМПАНИЯ
ПРАКТИВ



info@rutoken.ru



www.rutoken.ru
www.aktiv-company.ru



+7 495 925-77-90



РусКрипто

Приложение: схема режима MGM

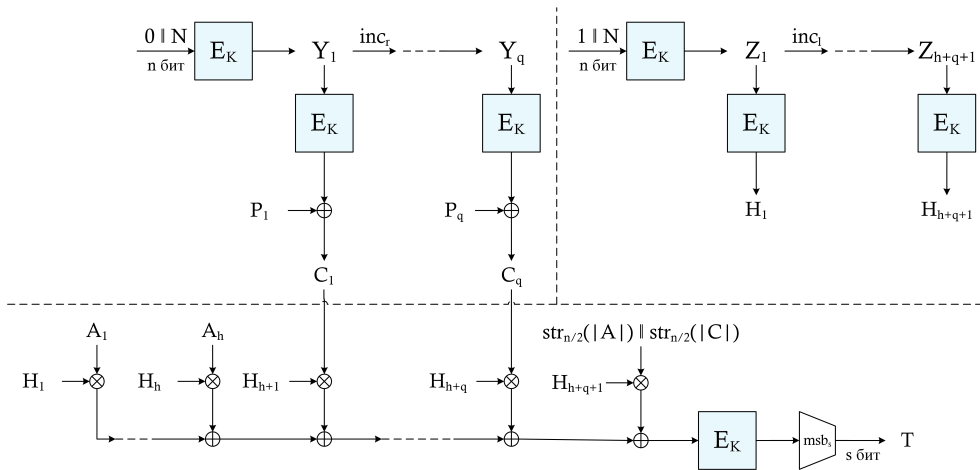


Рис. 7: Схема режима MGM